

名古屋大学 正良 岩田好一郎

名古屋大学 学生員 福井弘志

清野 博

1. はじめに： 深海域で 波高と周期の結合分布を与えた時、浅海域での結合分布を予測する簡単なモデルを作り、この予測された結合分布からゼロアップクロススペクトルの値を計算して、実測値から求めたゼロアップ(ダウン)クロススペクトル、フーリエスペクトルと比較した。

2. 浅海域にだける波高と周期の結合分布の簡単な予測モデル： 本報では不規則波の1次1波を規則波と見立て、それからの波が独立に浅水碎波変形を受けると仮定する。さて規則波の浅水変形による波高変化は Airy 波を利用すれば式(1)となる。ただし以後、沖での諸量には下添字の 0 を、浅海域の着目点における諸量には下添字の s を付ける。なお式(1)で、H は波高、T は周期、L は水深、

$$\begin{aligned} & \frac{1}{8} \cdot \frac{g^2 \cdot H_0^2 \cdot g \cdot T_0}{(2\pi)} \cdot \tanh^2 \left\{ 2\pi h_0 / \bar{H}(T_0, h_0) \right\} \cdot \frac{1}{2} \left[1 + \left\{ 4\pi \cdot h_0 / \bar{H}(T_0, h_0) \right\} \right] / \sinh^2 \left\{ 4\pi h_0 / \bar{H}(T_0, h_0) \right\} \\ & = \frac{1}{8} \cdot \frac{g^2 \cdot H_0^2 \cdot g \cdot T_0}{(2\pi)} \cdot \tanh^2 \left\{ 2\pi h_s / \bar{H}(T_0, h_s) \right\} \cdot \frac{1}{2} \left[1 + \left\{ 4\pi h_s / \bar{H}(T_0, h_s) \right\} \right] / \sinh^2 \left\{ 4\pi h_s / \bar{H}(T_0, h_s) \right\} \end{aligned} \quad (1)$$

$L = \bar{H}(T_0, h_0)$ は水深れど周期 T_0 の波の波長 L を表わす。さて今、沖波の波高と周期の結合分布 $P(H_0, T_0)$ が与えられたとき、浅海域の着目点での結合分布 $P(H_s, T_0)$ は式(2)の変数変換で与えられる。ただし、 λ は周期 T_0

$$P(H_s, T_0) = P(H_0, T_0) \cdot \left| \frac{\partial H_0}{\partial H_s} \right| \quad (2)$$

水深変化にすらず一定であると考える。今回、 $P(H_0, T_0)$ には、Longuet-Higgins¹⁾の結合分布を用いた。(沖波の平均波高 \bar{H}_0 、平均周期 \bar{T}_0 、スペクトル帯域幅 Δf メータルが必要である。) また、 $P(H_s, T_0)$ は沖波の H_s の水深まで碎波せずに進行すると仮定したときの仮想的な結合分布である。今回この結合分布に合田²⁾の碎波限界式(式(3))、記号は本論文に合うよう一部修正した)をあてはめたのち、碎波限界を超えた波高の波をすべてカットし、この部分を残存波、確率密度関数の値に比例して再配分したものと、浅海域の碎波とともに結合分布を考えることにした。今式(3)の $\tan \theta$ は勾配、 $L_0 \propto \lambda^{2/3}/2\pi$

$$H_s / L_0 = 0.17 \cdot [1 - \exp(-1.5\pi \cdot h_s / L_0 \cdot (1 + 15 \tan^{4/3} \theta))] \quad (3)$$

である。また着目点の水深は静水深に実験で得られた SET-UP と SET-DOWN を加えて評価した。

3. ゼロアップ(ダウン)クロススペクトル： 従来のフーリエスペクトル(以後 F.S. と表わす)に対して、不規則波をゼロアップクロス法で定義し、それからの波を正弦波で近似すると、正弦波のモーティリティを周波数別に評価するゼロアップクロススペクトル(式(4)、以後 ZUS と表わす)が提案されて³⁾いる。なお波をゼロダウンクロス法で定義すればゼロダウンクロススペクトル(以後 ZDS と表わす)が同様に得られる。なお式(4)で Δf は周波数の間隔、 H_s は Δf にはじまる波の波高、N は記

$$S(f) = \sum_{n=1}^N H_n^2(f) / (8N \cdot \Delta f) \quad (4)$$

録中の波の総数である。本論文では、実験から得られた ZUS、ZDS、F.S. と、予測モデルから計算したスペクトルとの比較を述べる。

4. スペクトルの比較手法： Black³⁾のスペクトルの形状 S(f) = $m_0 \cdot \alpha \cdot \beta \cdot f^{-\alpha-1} \cdot \exp[-\alpha \cdot f^{-\beta}]$ (5) で与えられ、スペクトルの尖鋭度を表す合田のスペクトル比 $\beta = 1/\Delta f - 1/Q_p$ とスペクトル比 $\alpha = 1/Q_p$ 用いて式(5)を変形すると、 $S(f) = m_0 (2Q_p + 1) / f_p \cdot (f/f_p)^{-2Q_p - 1} \cdot \exp[-(2Q_p + 1)/(2Q_p) \cdot (f/f_p)^{-2Q_p}]$ (6)

が得られる。なお式(5)と式(6)によりて m_0 及スペクトルの次モーメント、 α, β はパラメータ、 $S(f)$ は周波数スペクトルである。このようにスペクトルが式(5)で与えられると仮定したとき、その形状は、 m_0, f_p, Q_p の 3 つのパラメータで決定されることがある。そこで今回では、 m_0, f_p, Q_p を用いてスペクトルへ計算値と実測値の比較を行なった。

5. 水理実験による検討:

名古屋市立大学にある不規則造波装置を用いて波を発生させ、勾配 1/5 の斜面上のいくつかの点で波の時系列データと電気容量式水位計で記録した。表-1に発生波を示す。なお水位・連続変動を 10 秒で離散化し、形はデータ数 4800、最大ラグ数 80、自由度 120 で BT 法で計算した。

水深減少とともに波高変化、入射スペクトルの形状変化とスペクトルの各パラメータの変化をもとめることとする。

図-1、図-2、表-2 に示した。 Q_p は全体的に FS よりも ZUS(ZDS) の方が大きくなる傾向がみられた。これにて ZUS(ZDS) が実測された

周波数の最大値と最小値

の間での外正の値をとる。これは式で FS は [0, 0] の範囲で正の値をもち ZUS(ZDS) よりもエネルギーが大きい周波数範囲に分散して分布することに大きく帰因する。

また水深減少とともに ZDS の Q_p の値の方が ZUS の Q_p の値より小さくなる傾向がみられた。理論値は定性的には実測値と一致したが水深減少とともに m_0 も小さくなり大きく見積る傾向がみられた。この原因としては碎波した波を便宜的に残存波の結合分布の値に比例して配合した点などが考えられる。

6. おわりに： 沖波の諸量から海域のスペクトルを求め実測値と比較したが一応の定性的一致が得られた。なお沖波の結合分布や碎波後の波の評価に関しては、今後さらに検討を要するであろう。

7. 参考文献： 1) Longuet-Higgins, Jour. Geophys. Res., 1945 2) 合田良実, 港湾技術研究報告, 1975 3) Black, K.P., Tech. Rep. 1978

表-1 発生波

CASE	H_0/L_0	H_0 cm	H_0 cm	T_0 sec	ν
1	0.012	2.89	1.70	0.96	0.38
3	0.040	8.83	5.36	1.10	0.32
5	0.061	10.88	6.82	0.99	0.36

H_0/L_0 : 有義波の冲波波形勾配

H_0 : 有義波の平均波高

T_0 : 波の周期

ν : 三波段スペクトル帯域幅(ラムダ)

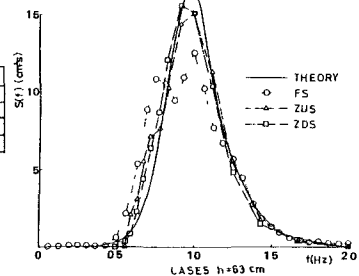


図-1 水深減少とともに平均波高の変化

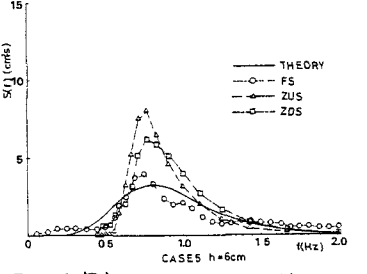
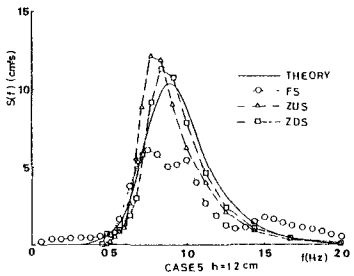


図-2 水深変化によせるスペクトル形状変化の一例

表-2 水深変化によせるスペクトルの各パラメータの変化

CASE	h cm	ZUS			ZDS			FS			THEORY		
		m_0 cm^2	Q_p Hz	f_p Hz									
1	63	0.47	1.97	0.91	0.46	1.90	0.91	0.54	1.37	0.81	0.48	2.55	1.01
	10	0.47	1.78	0.77	0.47	1.82	0.83	0.50	1.30	0.44	0.50	2.52	0.99
	4	0.71	1.85	0.71	0.70	1.76	0.71	0.63	0.83	0.44	0.61	2.48	0.90
	2	0.35	1.81	0.53	0.34	1.42	0.48	0.34	0.95	0.44	0.29	1.50	0.91
3	63	4.49	2.38	0.91	4.45	2.32	0.91	4.72	1.88	0.75	4.70	3.00	0.89
	20	3.55	2.24	0.77	3.55	2.39	0.83	3.59	1.61	0.63	4.59	2.98	0.87
	10	3.20	2.14	0.71	3.18	2.13	0.83	2.89	1.19	0.75	3.98	2.57	0.87
	4	1.86	2.15	0.63	1.82	1.78	0.63	1.62	0.90	0.63	1.24	1.36	0.70
5	63	7.49	2.66	1.00	7.43	2.75	0.91	7.49	2.07	1.00	7.68	2.66	0.98
	16	5.28	2.89	0.83	5.27	2.73	0.91	4.94	1.74	0.75	6.34	2.60	0.93
	12	4.96	2.63	0.77	4.94	2.63	0.83	4.46	1.43	0.75	5.35	2.35	0.92
	6	3.14	2.46	0.77	3.12	2.16	0.77	2.71	1.14	0.75	2.40	1.59	0.80